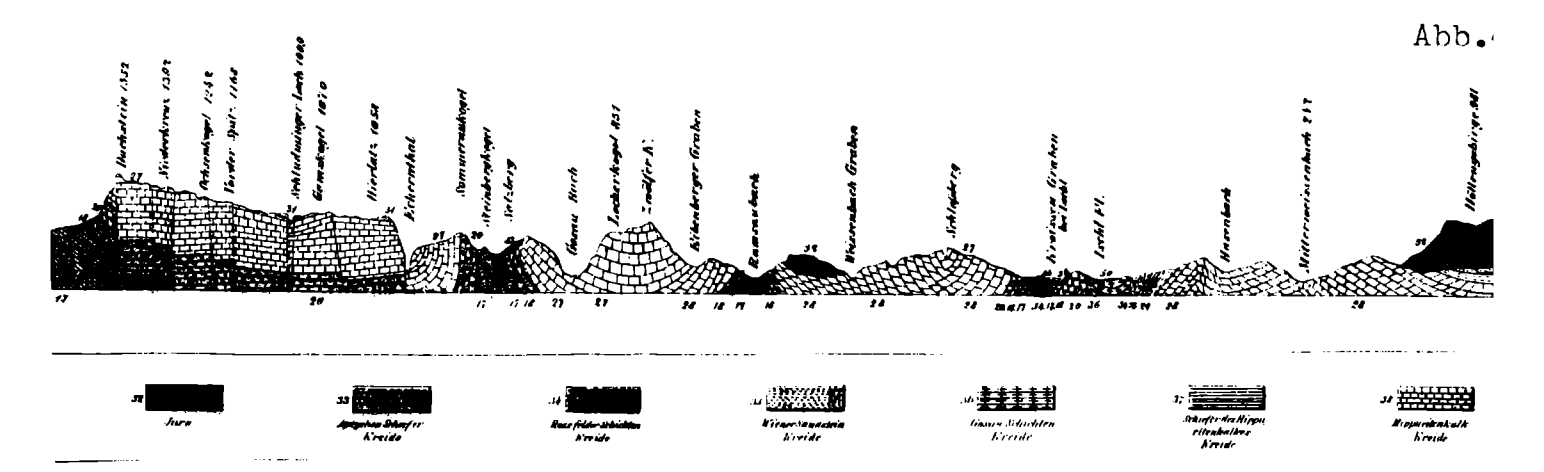
Einführung zur Geologischen Karte der Republik Österreich. Blatt 96, Bad Ischl (G.SCHÄFFER)

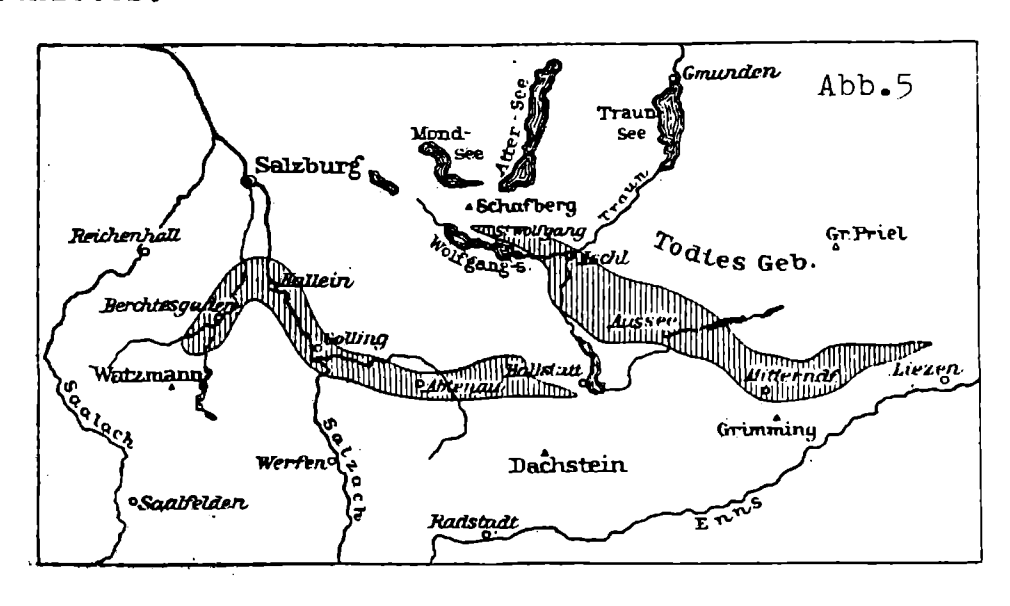
Allgemeines

Der Raum des Salzkammergutes lockte bereits im frühen 19. Jahrhundert zahlreiche Forscher an. Waren hierfür zuerst in der
Hauptsache die reichen Fossilvorkommen maßgebend, so waren es
zu Beginn dieses Jahrhunderts vornehmlich tektonische Auflösungsversuche, die von diesem Gebiet für den Gesamtraum der
Nördlichen Kalkalpen ihren Ausgang nahmen.

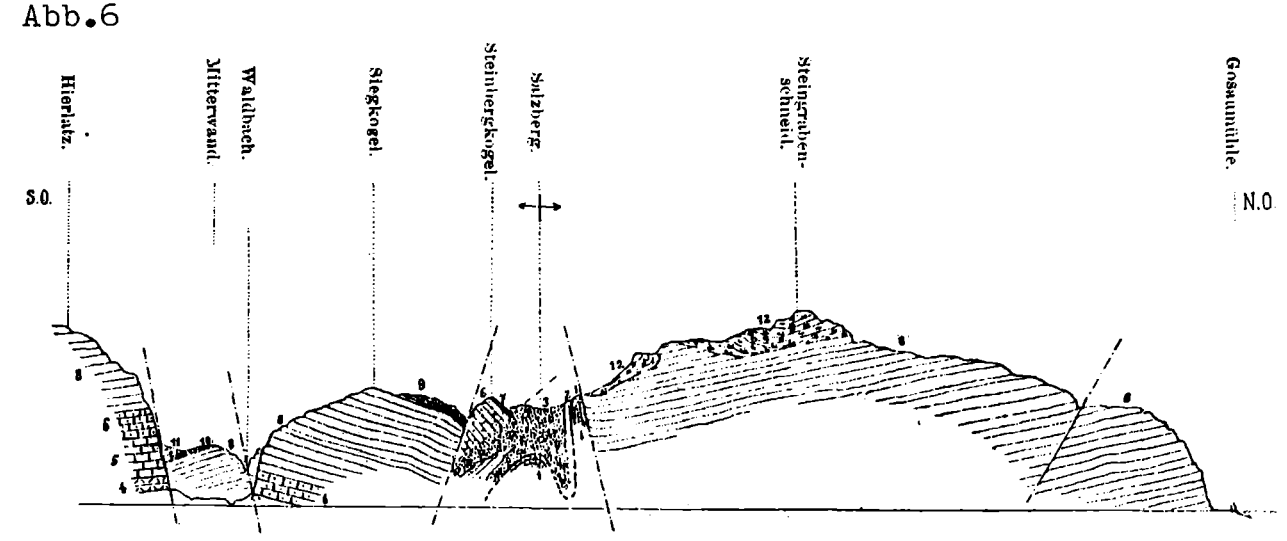
In einer Zeit, als erst Ansätze zu einer Stratigraphie vorlagen, wurden in verschiedenen Gegenden des Salzkammergutes, insbesondere des Plassens bei Hallstatt, Profile gezeichnet. Das wertvollste findet sich bei v.HAUER & SUESS, 1857 (Abb.4.).



MOJSISOVICS, 1903, entwickelte - als es noch keine Deckenlehre gab - die Vorstellung der ortsgebundenen Hallstätter Zonen, die über das Kartenblatt hinausreichten. Er unterscheidet einen nördlichen Hallstätter Kanal (vgl.Abb.5) zwischen Wolfgangsee-Ischl-Aussee-Mitterndorf-Phyrn und einen südlichen Kanal zwischen Berchtesgaden-Hallein-Golling und Abtenau. MOJSISOVICS versteht darunter zwei relativ tiefere Ablagerungsräume der Mittel- und Obertrias im Vergleich zu den Flachwasserräumen des gleichen Zeitabschnittes.

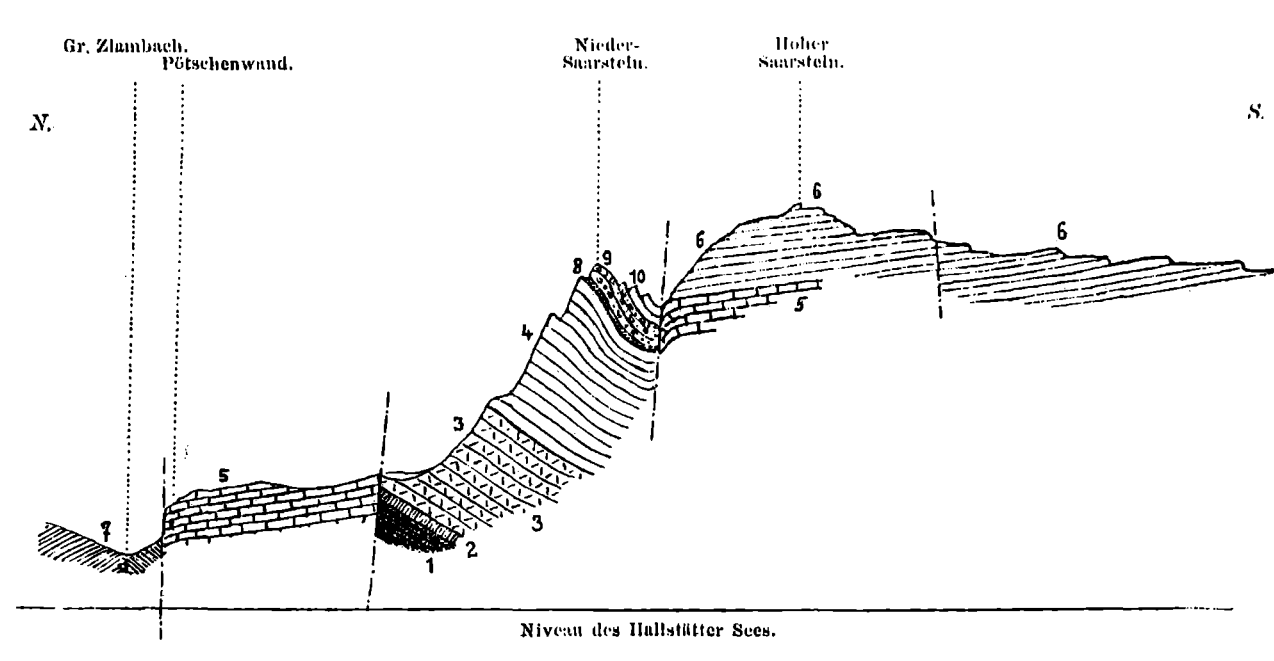


Am Haltepunkt 8 bzw. 9 vergleichen wir Übersichtsprofile aus dieser Zeit (E.KITTL, 1903, Abb.6-7) mit Profilen der neuen Aufnahme (siehe Beilage).



Profil vom Echerntal über den Salzberg und die Steingrabenschneid zur Gosaumühle.

Werfener Schiefer. — 2. Rauchwacke. — 3. Salzgebirge. — 4. Dolomit. — 5. Hallstätter Kalk, nicht horizontiert. —
 Norischer Hallstätter Kalk. — 7. Zlambachmergel. — 8. Dachsteinkalk. — 9. Liasmergel. — 10. Hierlatzkalk. —
 11. Khuskalke. — 12. Oberalmschichten.



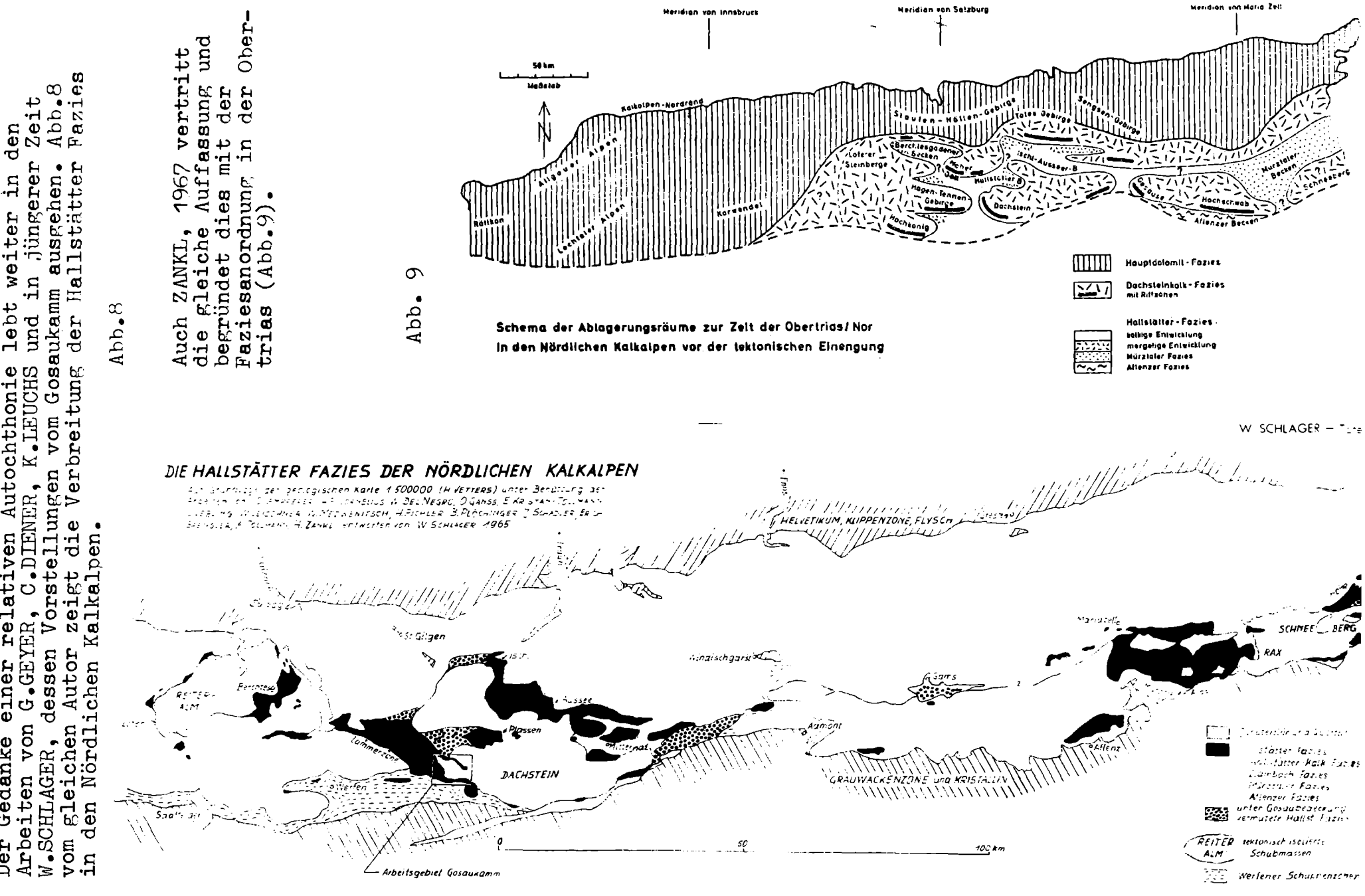
Profil durch den nördlichen Tell des Saarstein.

Werfener Schiefer. — 2. Gutensteiner Kalk. — 3. Dolomit. — 4. Trins-und Dachsteinkalk. — 5. Hallstätter Kalk.
 — 6. Dachsteinkalk mit Megalodonten. — 7. Zlambachmergel. — 8. Hornsteine (Dogger?). — 9. Oberalmschichten. —
 10. Oberer Malmkalk.

Abb.7

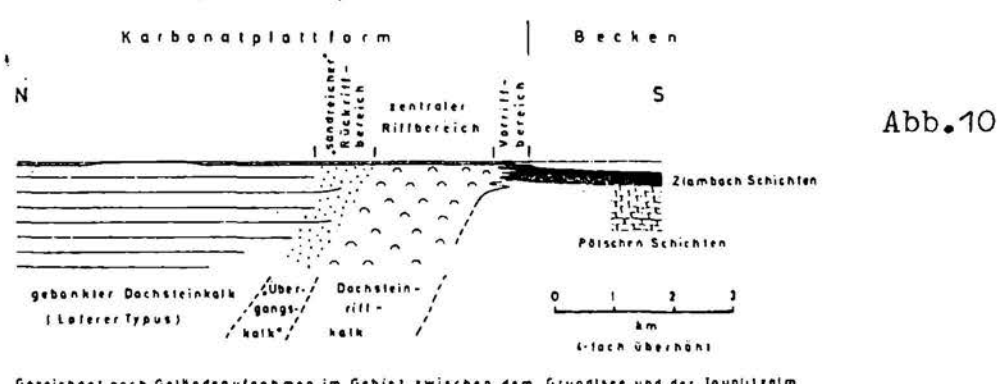
Als wesentlicher Unterschied zur heutigen Vorstellung kann besonders in Abb.6 angeführt werden, daß in der Hirlatz-Wand keine Hallstätter Kalke eingeschaltet sind, während im Sattel zwischen Niederen und Hohen Sarstein (Abb.7) eine kleine verkehrt liegende Hallstätter Schichtfolge in einem Störungsbereich vorliegt.

Zeit Abb.8 Fazies in jüngerer mm ausgehen. Hallstätter weiter elativen Autochthonie lebt v. R. C.DIENER, K.LEUCHS und ir Vorstellungen vom Gosaukamm zeigt die Verbreitung der He relativen einer rel n G.GEYER, dessen Vo Der Gedanke einer J Arbeiten von G.GEYI W.SCHLAGER, dessen vom gleichen Autor in den Nördlichen I Autor



Knapp außerhalb des Kartenblattes beschreibt SCHÖLLNBERGER, 1973 Faziesverzahnungen in der Obertrias, die gleichfalls auf relative Autochthonie hinweisen (Abb.10).

SCHEMATISCHER SCHNITT ZUR OBERTRIADISCHEN PALÄOGEOGRAPHIE AM S-RAND DES TOTEN GEBIRGES



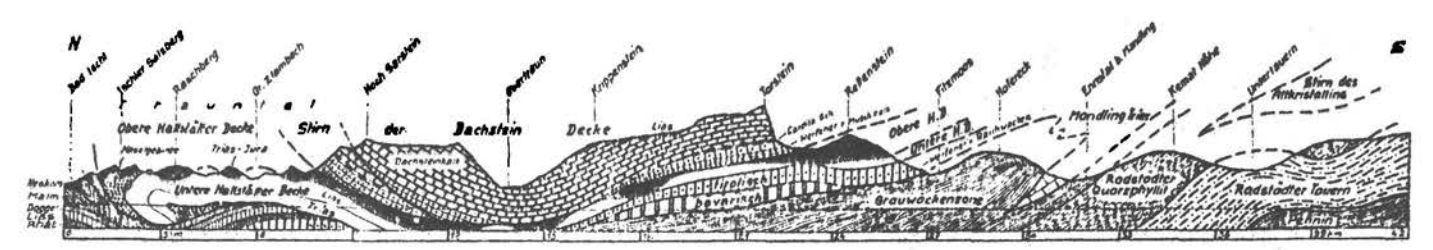
Gezeichnet nach Geländeaufnahmen im Gebiet zwischen dem Grundlsee und der Tauplitzalm (Steirisches Salzkammergut)

Hinweise auf relative Autochthonie glaubt ebenfalls PISTOTNIK-WEIGERT, 1972 im Raume Ischl-Aussee-Sarstein der Hallstätter Zone/Dachstein-fazies gefunden zu haben.

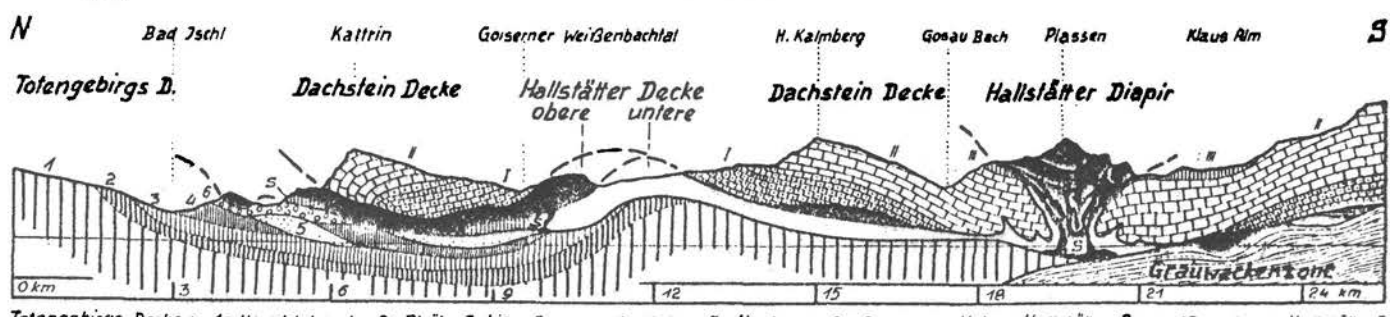
+ + +

Nach der Übertragung der Deckenlehre von den Westalpen in die Ostalpen durch TERMIER, 1903 fand der Gedanke der Allochthonie auch in den Kalkalpen Anklang. In erster Linie möchten wir hier E.HAUG, 1904-12 anführen, der im Kartenraum Profile darstellte (Abb.12). Nach ihm reichen die Hallstätter Decken bis an den Südrand der Kalkalpen.

KOBER folgt diesen Vorstellungen im Großen und Ganzen ab 1906, führt aber neue Begriffe für die Hallstätter Decken HAUG's ein (Abb.11,15).



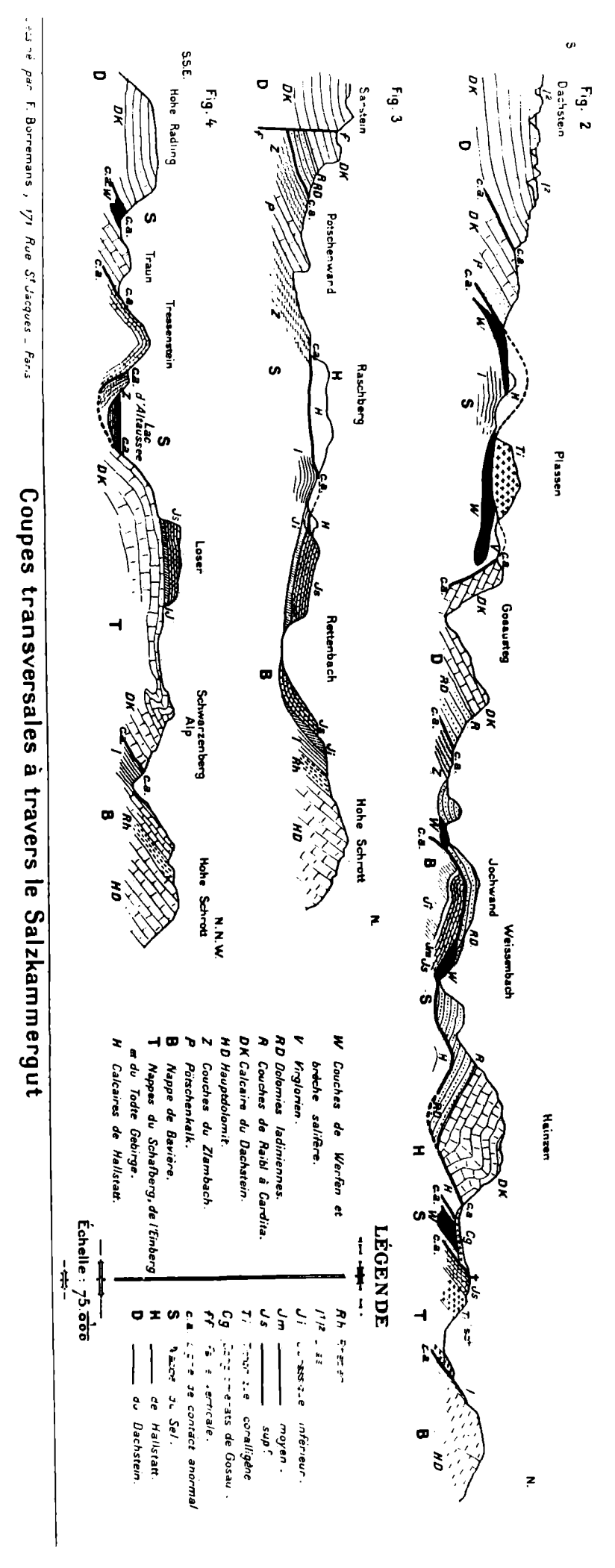
Grundprofil der Kalkhochalpen und der Grauwackenzone von Bad Ischl bis Radstadt. L. Kober und W. Medwirtsch 1954.



Totengebirgs Decke: 1- Hauptdolomit 2-Rhål 3-Lias-Dogger 4-Malm 5- Neokom 6- Gosau Untere Hallstätter D. weiß. Obere Hallstätter D. Schwarz, S-Haselgebirge Hallstätter Diapir: 5- Haselgebirge: Dachstein Decke. I- Werfener Sch. u. Ramsaudolomit N. Dachsteinkalk M.-Lws-Dogger

- Querprofil durch die Hallstätter Zone von Bad Ischl bis Hallstatt, entworfen von L. Kober und W. Medwentrsch 1954.

KOBER geht von der Vorstellung aus, daß die Hallstätter Decken (Nördliche
Zlambach Decke und südliche
Salzberg Decke nach
MEDWENITSCH) zwischen Totem
Gebirge und Dachstein Massiv
wurzeln. Vorgosauisch ist
die Anlage des Deckenbaues
(Abb.15).



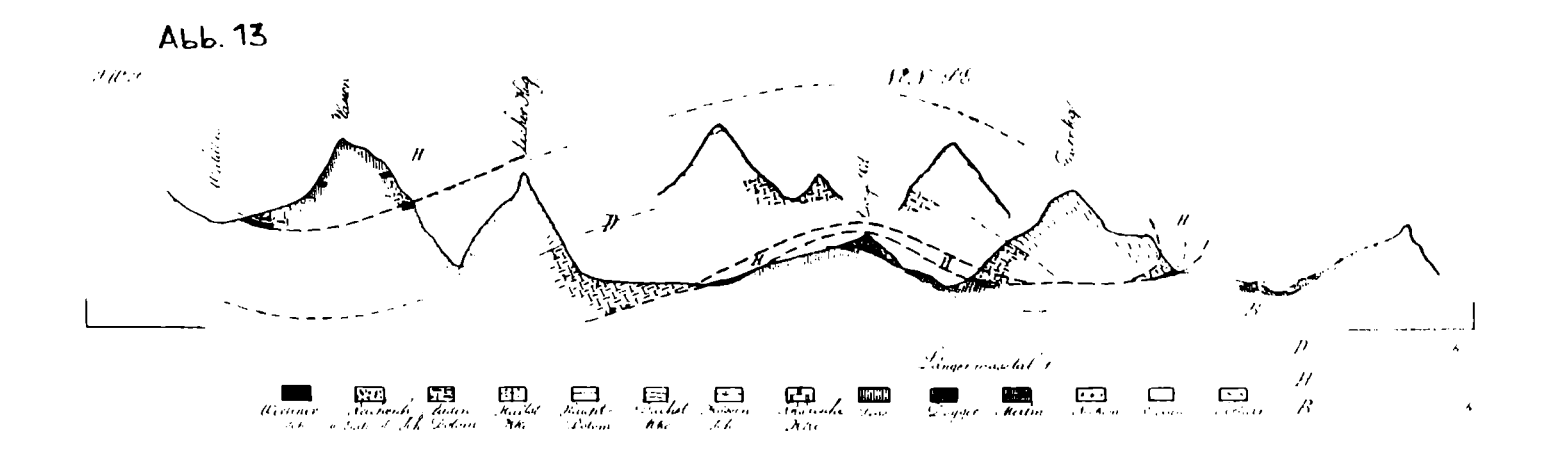
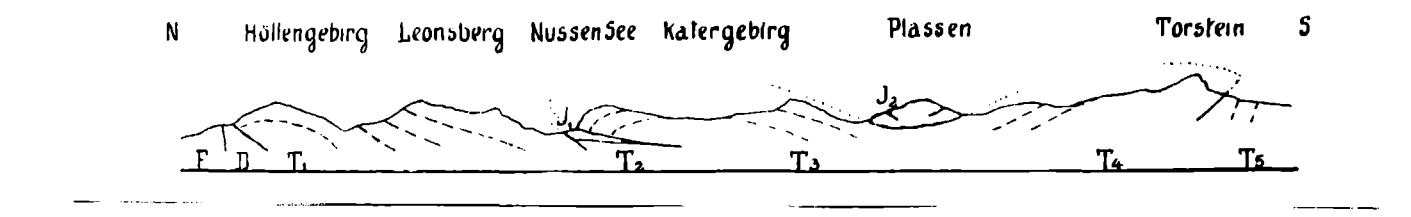


Abb.14



NOWAK, 1911 sieht die Heimat der Hallstätter Zone südlich der Berchtesgadner Zone, d.h. am Südrand der Kalkalpen. Nach ihm wird die Hallstätter Fazies auf die Berchtesgadner Fazies - wo sich diese mit der Bayrischen Fazies verzahnt - aufgeschoben (Abb.13,15). In einer zweiten Phase wurde der Südteil der Berchtsgadner Fazies mit der Hallstätter Fazies auf den nördlichen Teil der Hallstätter Decke aufgeschoben.

HAHN, 1913 übernimmt diese Gedanken und rechnet die Hallstätter Entwicklung der Plassengruppe seiner juvavischen - die darunterliegenden Dachsteinkalke - seiner tirolischen Einheit zu (Abb.14,15).

SPENGIER folgt diesen Vorstellungen und glaubt 1919 einen Beweis für die Deckschollen-Natur des Plassen erbringen zu können.

DEL NEGRO, 1932 schließt sich diesen Vorstellungen an (Abb.15).

Eine Synthese der gegensätzlichen Ansichten SPENGLER-KOBER versucht STAUB, 1924.

TRAUTH, 1937 unterscheidet eine Süd- und Nord-juvavische Zone (vgl. Abb.15).

Mit dem Bau des Hallstätter Erbstollens im Jahre 1951 erhoffte man sich eine Klärung der verschiedenen tektonischen Ansichten. Dennoch bestanden weiterhin gegensätzliche Ansichten zur Tektonik im Salzkammergut.

Wichtige tektonische Konzepte im Salzkammergut

Autochthone Lösung MOJSISOVICS, 1903 Dachsteinkalk Fazies Hallstatt Ischi-B.Ausee Allochthone Lösungen HAUG, 1906 Hallstätter Fazies Dachsteindecke 1 Nappe du Dachstein obere Hallstätter D. (Salzberg D.) KOBER, 1908; SPENGLER, -1911 2 Nappe du Hallstatt 3 Nappe du Sel untere Hallstätter D. (Zlambach D.) 4 Nappe du Totes Gebirge 5 Nappe du Baviève NOWAK,1911; HAHN,1913; SPENGLER, ab 1912 1.-B.Ausee Hallst HAHN: 1 Juvavikum 2 Tirolikum STAUB, 1924; DEL NEGRO, 1952 **TRAUTH, 1937** Süd-Juvavikum Nord-Juvavikum KOBER, MEDWENITSCH, 1954; TOLLMANN 2 3 Hoch-Juvavisch: Dachsteindecke (1) Tief-Juvavisch: obere Hallstätter D. (2) untere Hallstätter D.(3) Tirolikum: Höllengebirgsdecke, Totengebirgsdecke (4) 肾

Alter, Korrelation und Faziesbeziehungen der Gesteine des Kartenblattes

Die auf den folgenden vier Seiten abgebildeten Tabellen geben eine Übersicht über die Schichtglieder der Hallstätter Zone und ihrer Umgebung.

Tabelle 1 zeigt die Schichtfolge der Hallstätter Zone; sie ist charakterisiert durch Mangelsedimentation eines Beckenbereiches mit lokalen Schwellen (Mittel- und Obertrias).

Eine auffallende Beziehung besteht zwischen den Salzvorkommen im Haselgebirge (Wende Perm/Trias) und den die Hallstätter Fazies charakterisierenden Rotsedimenten(vgl. Abb.16).

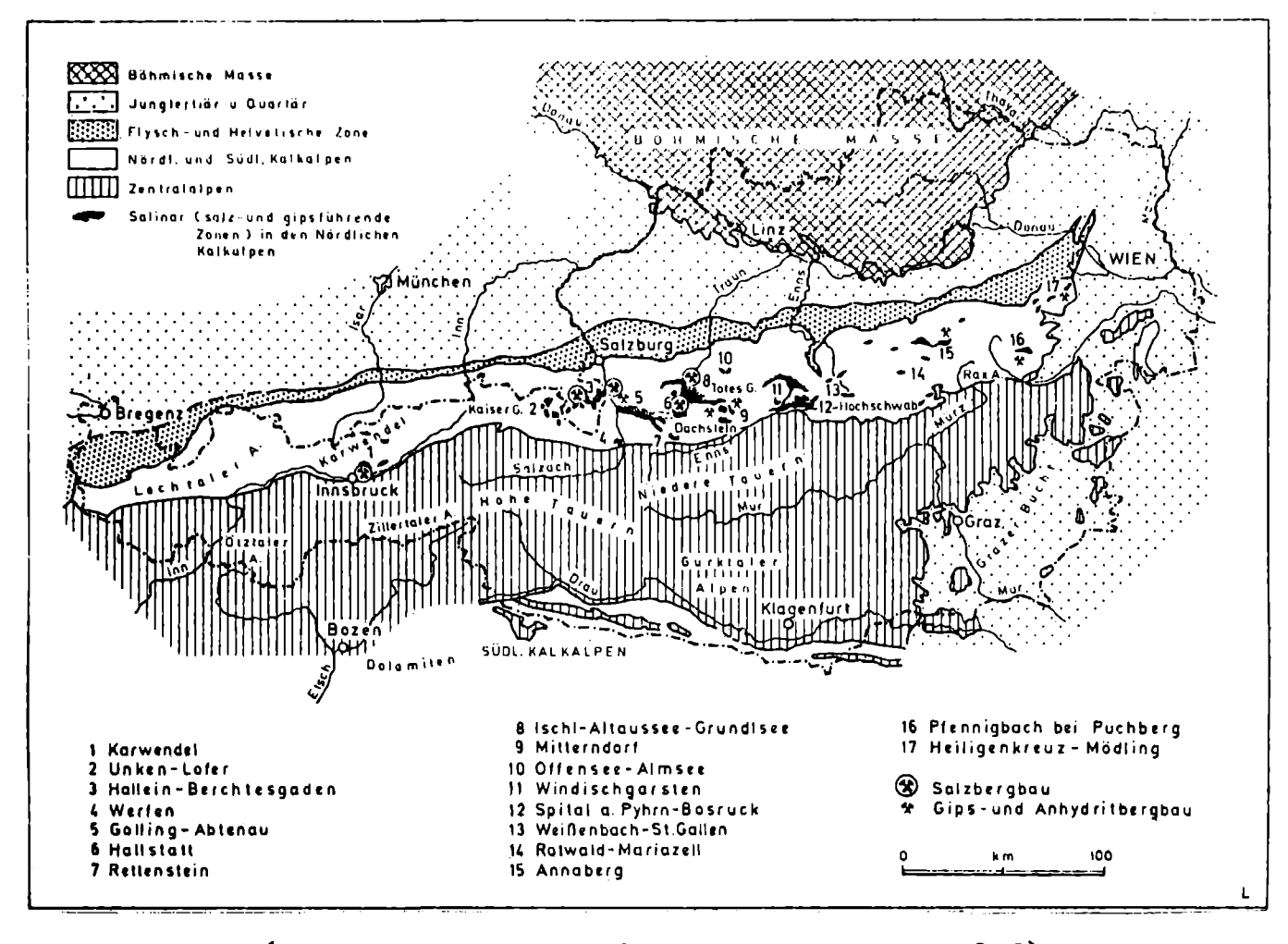


Abb. 16 (nach SCHAUBERGER, 1955; aus TOLLMANN, 1976).

Die Tabellen 2 - 4 zeigen die Schichtfolgen von Trias bis Kreide in der Dachstein-, Höllengebirgs- und Totengebirgs-Decke. Sie repräsentieren mittel- und obertriadische Plattformsedimente, die ursprünglich im Zusammenhang mit der Hallstätter Entwicklung standen, heute aber tektonisch dislociert sind (Übergänge zwischen beiden sind u.a. außerhalb des Kartenblattes am Südrand der Dachsteinmasse in der Mittel- und Obertrias zu beobachten).

SCHICHTFOLGE DER HALLSTÄTTER ZONE (Blatt Ischl)

l v	,			Tektonische Ereignisse
R E	0.	KREIDE	Gosauschichten Mergel, Kalke und Konglomerate	Vulkanismus, bzw. Hinweise darauf = ♥
I NEOKOM		OKOM	Roßfeldschichten Schrambachschichten	
	M	Tithon		7
נן	A L	Kimmeridge	Rettenbachkalk, Oberalmer Schichten Tressensteinkalk Plassenkalk	
	m	Oxford	Radiolarit	
U	D	Callovien	!Konglomerat - 2 m	Gleitschollen und Breccien bei Hallstatt
	0	Bathonien	Breccien aus Dachsteinkalk mit Breccien. Hallstätter Kalk -Komp.	
	G	Bajocien	Klauskalkmatrix u.Gleitschollen -400 m in kieseliger Matrix - 5m	
R	R	Azlénien		DIAPIRISMUS (Lias - Dogger)
	L	Toarcien		Eingleiten der Totengebirgs Decke
А	I	Pliensbachien	Rote Mergel und Kalke	
^	Α	Sinemurien		
	S	Hettangien	Allgäuschichten, Fleckenkalke -mergel kieselige Fleckenkalke (Radiolarite) -70 m 0-50 m	Höllengebirgsdecke? *
	RI	nät	Obere Zlambachmergel	SALZKISSEN (D.Anis - Nor)
	N	Sevat	Zlambachschichten Untere Zlambachmergel, kalkreich	. SALZAISSEN (B.ANIIS - NOI)
	0	Alaun	Hangendrot-,Hangendgrau 0 - kalk -25 m 4 Roter Bankkalk, -60 m	Synsedimentäre Spalten (O.Nor)
	Ŗ	Lac	Pötschenschichten Pötschenkalk HALLSTÄTTER Schichten Becken (Graufazies) Über 200 m Schwelle (Buntfazies) Pötschendolomit Massiger bis gebankter Hellkalk - 200 m	3. Synsedimentäre Spalten
Т	к	Tuval	TIETTABLE - 200 III	((Tuval-Nor) mehrere Generationen
R	A R	JU1	Knollenflaserkalk, -15 m Grauvioletter Bankkalk	2. Synsedimentäre Spalten, -5m, gradierte Breccie (Jul) +Aufar- beitung
	N		Raibler Schichten - 25 m Halobienschiefer Mergel der Bläningfährt	
I		Cordevol	Graugelber Bankkalk	
	L.	ļ	Mergel	
Α	A	Fassan	Reiflinger Schichten-40m Grauer Bànkkalk Schreieralmkalk.Buntdolomit.Breccien	1. Synsedimentäre Spalten - 200 m
	А	O.Anis		O-Anis - Ladin, in Breccie mehrere 100 m aufgearbeitet.
5	N	U.Anis	Knollenkalk -30 m -30 m - 5 m Gutensteiner Kalk Steinalmkalk -220 m, bunte Lutite im - 100 m Steinalmkalk Gutensteiner Dolomit - 200 m	mentere ion m anidearnerrer.
		SKYTH	Werfener Schichten Kalk, -15 m	
			Schiefer und Sandsteine, -200 m	
		PERM	 Haselgebirge	*

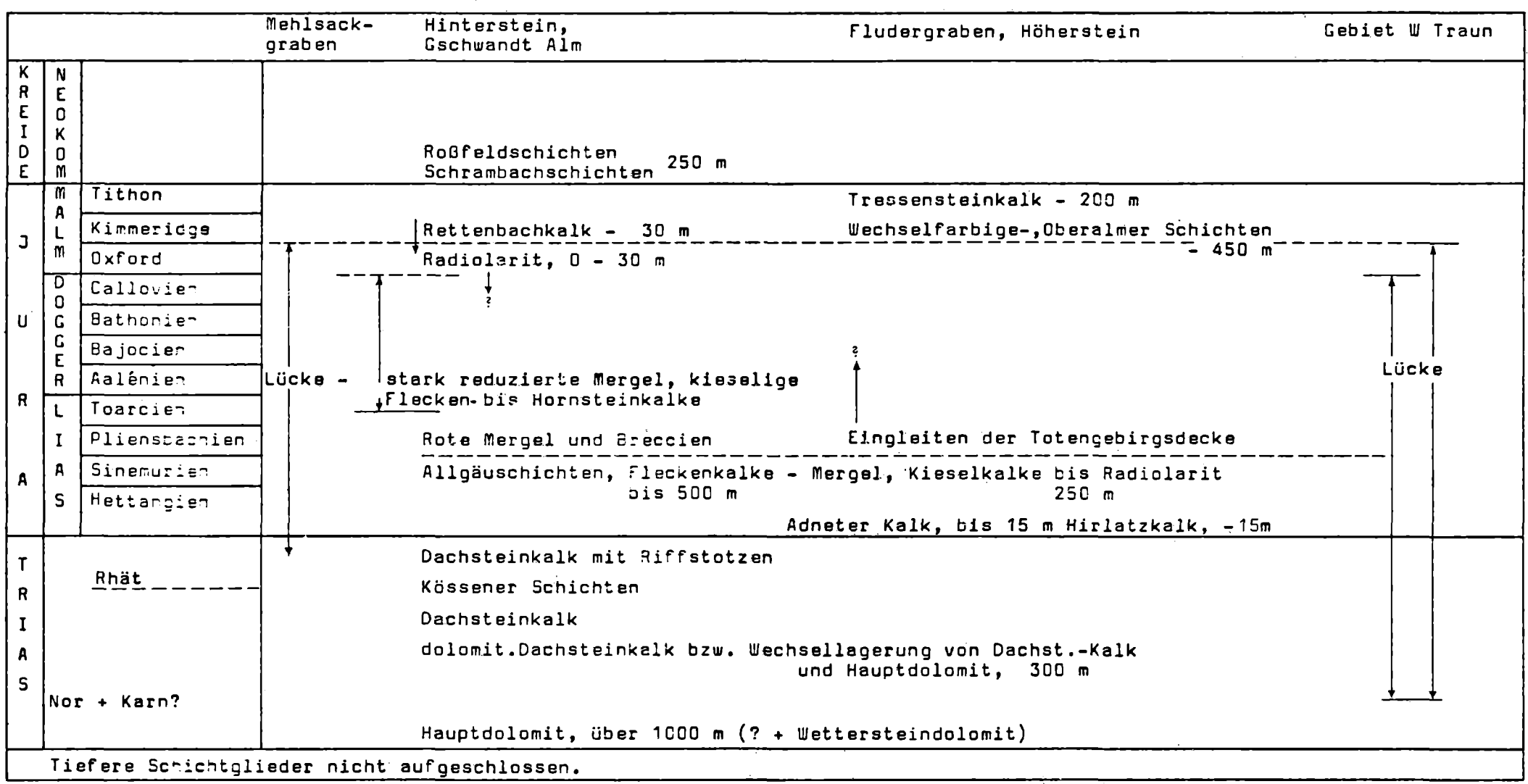
SCHICHTFOLGE DER DACHSTEIN-DECKE (Blatt Ischl)

			Dachsteinplateau	Gebiet um Hallstatt	Sarstein		
J	M	Tithon	 		Tressensteinkalk, bis 20 m		
	A 	Kimmeridge			Rettenbachkalk, bis 5 m		
	M	Oxford	Radiolarit bis 5	m aufgeschlossen	Radiolarit		
R	D	Callovien	*2	↑ ³	3		
	G	Bathonien	Breccien	 Breccien mit Klauskalk	1		
	G	Bajocien	ī	und Gleitschollen bis 400 m	Lücke		
	l E I	Aalénien	Lücke? bisher ke				
	L	Toarcien	Lucke: Disher ke	belege			
	I	Pliensbachien	1				
	A	Sinemurien	Hirlatzkalk,	Allgäuschichten kieselig Adneter Kalk wenige m	Adneterkalk		
	S	Hettangien	-spalten				
T	Karn		Dachsteinkalk mit Riffstotzen bis mehrere 100 m				
R			Kössener Schichten, wenige m Dolomitisierter Dachsteinkalk – mehrere 100 m Hauptdolomit, bis 200 m				
I			Raibler Schichten, 0 - 25 m				
1	Ladin		Wettersteindolomit, bis 500 m Gutensteiner Dolomit				
A							
S	Sky	yth	Werfener Schichten, 0 - 200 m (tektonisch reduziert)				
PERM			Haselgebirge				

J U R	M	Tithon	Oberalmer Schichten, Tressensteinkalk, Plassenkalk			
	L	Kimmeridge	- 200 m - 600 m			
	M	Oxford	Radiolarit - 5 m			
	D O	Callovien] +			
	G	Bathonien	Klauskalk, Breccien?			
	C	Bajocien				
	E R	Aalénien				
	L	Toarcien	(cocke:) bisher keine rossilberege			
	I	Pliensbachien	Hirlatzkalk, Adneter Kalk - mehrere Meter			
A	l _	Sinemurien	mentere meter — — — — —			
		Hettangien				
T R I A S	Rhät" N		Dachsteinkalk mit Riffstotzen Kössener Schichten – 10 m - 600 m			
			Dachsteinkalk			
	R		Hauptdolomit			
Tiefere Schichtglieder fehlen.						

Tab.

SCHICHTFOLGE DER HÖLLENGEBIRGS DECKE (Blatt Ischl)



Text zu Abb.17

Legende

3. Steinalmkalk (Anis)
(Massiger Algenkalk)
2. Gutensteiner Kalk (Anis), Bankkalk
1. Gutensteiner Dolomit (Bankdolomit)

Fossilfundpunkte

II.	Schreieralm (Ceratites binodosus, C. trinodosus) Hohe Scheibe (Fauna mit Ptychiten) Schiechling Höhe (C.bin., C. trin., Cordevol Elemente) Bläningfährt (Fauna mit Protrachyceras pseudo-	Zlambachschichten 16. Zlambachmergel (O.Nor-Rhät?) Pötschenschichten 14. Hornsteinbankkalk (Pötschenkalk, Jul-O.Nor		
VI.	archelaus und Proarcestes sp.; Fassan) Bläningfährt (Fauna mit Trachyceras sp.indet., Paratrachyceras cf.hofmanni, Arpadites circumscinus, Coroceras nasutus, Sageceras haidingeri, Pompeckjites layeri, Proarcestes ausseanus, P.gaytani, Joannites cymbiformis, J.Klipsteini) Kaunwand (Fauna mit Megaphyllites applanatus, Cladiscites aff.crassistriatus) Sommeraukogel (Lumachelle mit Halobia styriaca) Sommeraukogel (Zone mit Discophyllites patens) Sommeraukogel (Zone mit Cyrtopleurites bicrenatus) Sommeraukogel (Vorkommen mit Heterastridium congl.) Sommeraukogel (Zone des Pinacoceras metternichi) Steinbergkogel, Solingerkogel (Vorkommen von Arcestes gigantogaleatus, Pinacoceras sp.)	Hallstätter Schichten 15. Hangendrotkalk, Hangendgraukalk (Nor) 13. Massiger Hellkalk (Jul-Nor) 12. Roter Bankkalk (Jul-Nor) 11. Knollenflaserkalk (Jul) 10. Grauvioletter Bankkalk Raibler Schichten 9b. Mergel + Sandstein Reiflinger Schichten		
X_{\bullet}		9a. Mergel (O.Anis?-Ladin) 8. Graugelber Bankkalk (Ladin-Cordevol) 7. Graue Bank- u.Knollenkalke (O.Anis-Ladin? 6. Buntdolomit (O.Anis-Cordevol) 5. Schreieralmkalk (O.Anis-Cordevol) (Roter Bank-u.Knollenkalk)		
		Gutensteiner Schichten 4. Steinalmdolomit (Anis) (Massiger Algendolomit)		

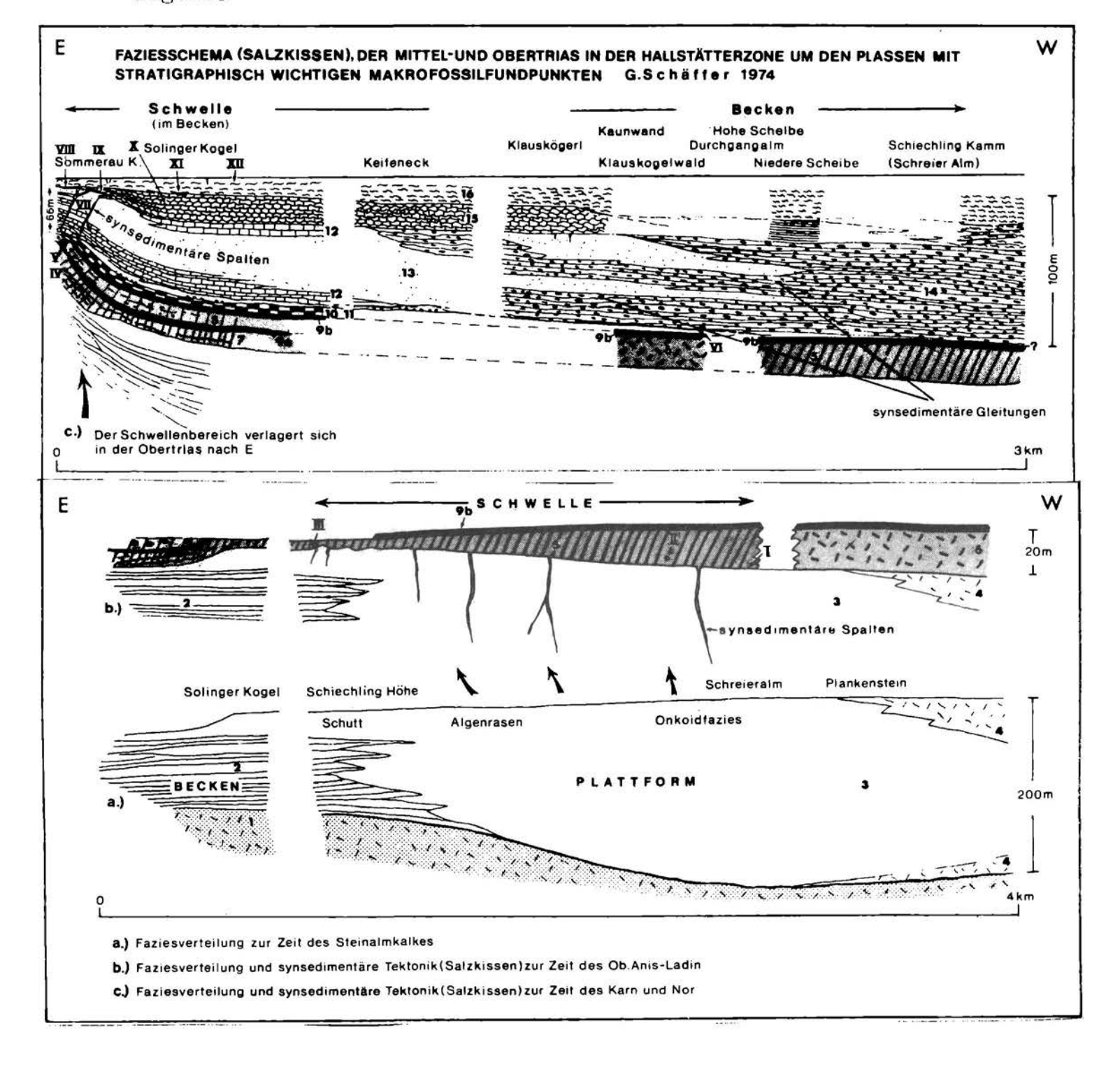
- 19 -

Die Untergliederung der Schichtfolgen, wie sie auf der Karte dargestellt wird, beruht auf lithofaziell definierbaren Gesteinskörpern ("formations"), deren Alter durch zahlreiche Fossilvorkommen biostratigraphisch fixiert werden konnte. Die in der Karte und in den Tabellen verwendeten Namen sind z.T. vorläufige Arbeitsbegriffe, die derzeit noch nicht in befriedigender Weise zeitlich gefaßt werden können.

+ + +

Die extreme Mangelsedimentation (Kondensation, Subsolution, Schichtlücken, Umlagerungen) in den Hallstätter Schwellenbereichen bereiten trotz des Fossilreichtums große Schwierigkeiten in der Korrelation mit den benachbarten Beckenablagerungen. Dazu kommen die früher nicht erkannten synsedimentären Spaltenbildungen, die in der älteren Literatur zur Verwirrung in stratigraphischen Fragen führten (Abb.17, 18) Die Zlambachschichten hingegen sind über beide Faziesbereiche abge-

Die Zlambachschichten hingegen sind über beide Faziesbereiche abgelagert.



Fossilfundpunkte

IX Sirenites Argonautae VIII Korallen, Choristoceras marshi, Austrocolomia canaliculata, A. rhätica Arcestes gigantogaleatus + Choristoceras sp. VII VI Halorellen Pinacoceras metternichi IV Höhere Bicrenatus Fauna (O.Nor) ΙΙ Halobia styriaca III Tropites subbullatus (Tuval)

Trachyceras aonoides (Jul)

Legende

Zlambachschichten 17 Obere Zlambachmergel ("Rhät?") 17 Untere Zlambachmergel (Nor) Pötschenschichten 16 "Pedatakalk" (Nor?) 15 Pötschenkalk u. Pötschendolomit (Jul-Nor) Hallstätter Schichten 14 Hangendgraukalk (0.Nor) 13 Hangendrotkalk (Nor) 12 massige-gebankte Hellkalke (Jul-Nor) 11 Knollenflaserkalk (Jul) 10 roter Bankkalk (Jul?-Nor) 9 Mergel des Karlgrabens 8 grauvioletter Bankkalk 7 Mergel u.Sandsteine 6 Breccie (Anis-Cordevol?)

贤

Faziesschema aus der Hallstätterzone Bad Ischl - Bad Aussee

12 7

G.SCHAFFER 1976 Schwelle -Becken SW O.Trias M.Trias U.Trias -Gutensteiner Reiflinger Schick 4 km 11 6

Ein weiteres Problem stellt die Parallelisierung der Schichtfolge des "Beckens" mit der Plattform dar. Haselgebirge, Werfener Schichten und Raibler Schichten finden sich in beiden Faziesbereichen, die Mitteltrias der Dachsteinfazies liegt als mächtiger Wettersteindolomit vor (Tab.2), die Gliederung der Obertrias ist den Tab.2, 3 und 4 zu entnehmen. Für die Obertrias entwickelte ZANKL 1971 ein paläogeographisches Schema für die Beziehungen zwischen Hallstätter Fazies und Plattform, s.Abb. 19.

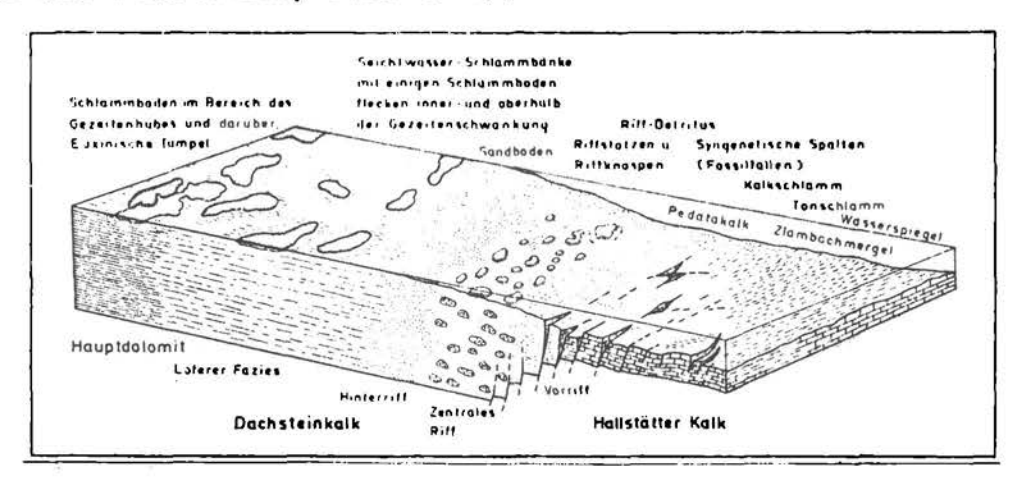


Abb.19: Paläogeographisches Schema der Ablagerungsbedingungen und der Beziehungen von Plattformsedimenten und Hallstätter Tiefschwellen-fazies in den mittleren Kalkalpen nach H.ZANKL, 1971.

Auf Blatt Ischl befinden wir uns im Bereich zwischen Riff- und Hauptdolomitfazies; daher kann das von ZANKL, 1971 entwickelte - grundsätzlich richtige - Schema nicht beobachtet werden, da die Faziesbereiche Hallstätter Zone und Dachsteinfazies tektonisch aneinander grenzen.

Die am Kartenblatt vorliegende Dachsteinfazies ist in ein Profil zu gliedern (Tab.2,3,4), das mit Abweichungen in der Mächtigkeit der verschiedenen Schichtglieder in allen drei Decken, die der gleichen Fazies angehören, wiederzufinden ist.

Der fazielle Übergang zwischen Hallstätter Zone und Dachsteinfazies ist erst am Südrand der Kalkalpen zu sehen.

Im Gegensatz dazu stehen die Auffassungen von LEIN, 1975 und TOLLMANN, 1976, Während TOLLMANN (Abb.20) am Meridian von Blatt Bad Ischl zwei Hallstätter Kanäle zur Abwicklung der Trias-Fazieszonen benötigt, nimmt LEIN, 1975 sogar drei Hallstätter Kanäle im gleichen Raum an.

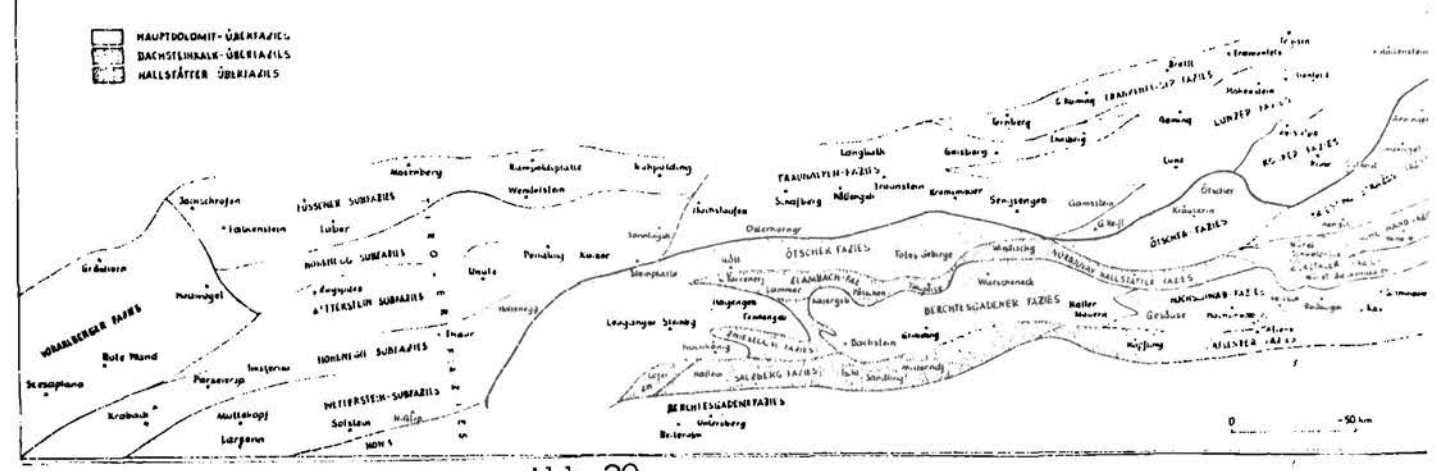
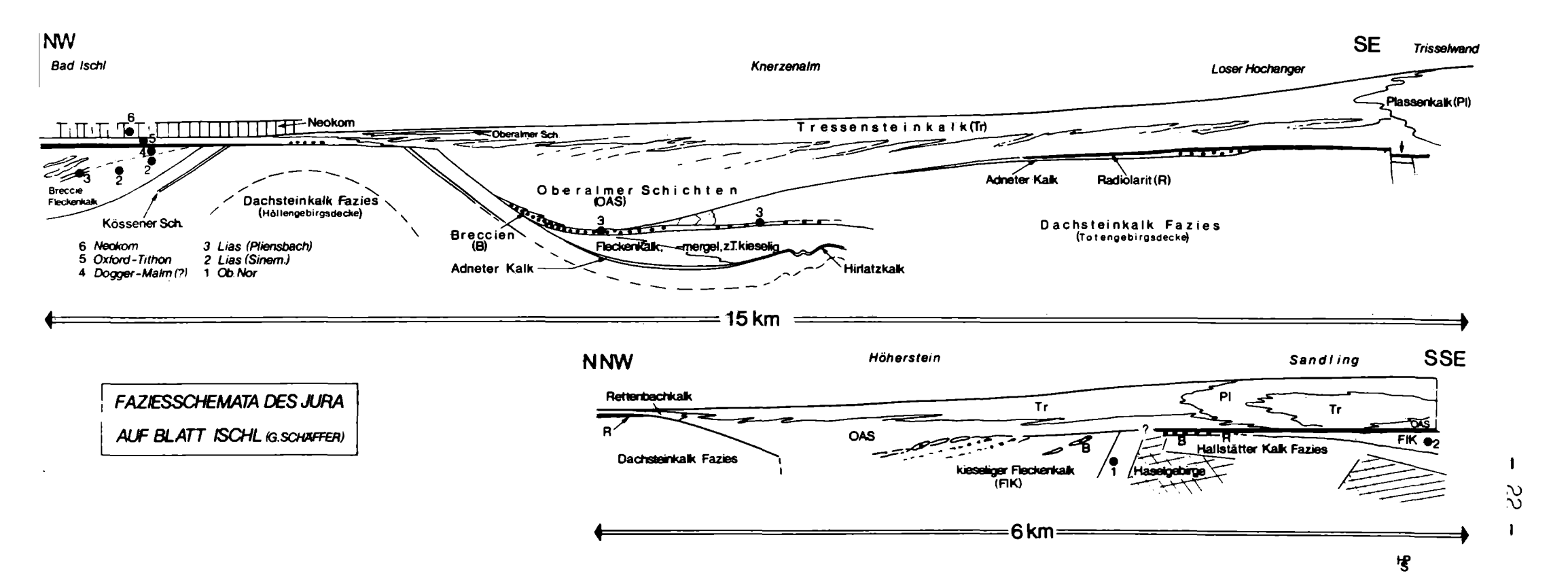


Abb.20



Im Jura setzt die Sedimentation von Mergeln und Kalken über der Hallstätter Fazies fort, während im Bereich der Dachsteinkalk-Areale Schwellensedimente (Rotkalke) zur Ablagerung kommen (Tab.1,2,3,4). Eine übersicht über die sedimentären und tektonischen Vorgänge geben die beiden Faziesschemata in Abb.21 und Abb.2. Das obere Profil zeigt eine Aufwölbung der Föllengebirgsdecke und das Eingleiten der Totengebirgsdecke ab Pliensbach (Rotkalke, Mergelbreccien und Schollen, die mit dieser Decke zusammenhängen). Darüber folgen im Becken fossilleere, kieselige Sedimente, die sich im Hangenden mit den Tressensteinkalken verzahnen. Diese mit dem Arbeitsbegriff "Oberalmer Schichten" (CAS) benannte Folge wird auf den höheren Dachsteinkalk-Arealen durch z.T. diskordant auflagernde Radiolarite vertreten. Darüber folgen, lateral angeordnet, Plassenkalk, Tressensteinkalk und Pettenbachkalk. Letzterer hat an mehreren Stellen Radiolarit und Dachsteinkalk aufgearbeitet.

Tas untere Schema zeigt dieselben jurassischen Sedimente über Dachsteinkalkfazies bzw. unconform über Hallstätterkalk-Fazies.

Bemerkungen zur Tektonik

Tektonische Ereignisse sind auf Blatt Bad Ischl ab der Mitteltrias zu beobachten. Sie wirken sich in Form synsedimentärer Spalten-bildung (bis 200 m tief) und als Diskontinuitätsfläche aus (bei-spielsweise erlischt das Algenwachstum des unterlagernden Steinalm-kalkes zu diesem Zeitpunkt).

Diese Vorgänge fallen zeitlich mit dem Beginn der Reiflinger Schichten (O.Anis-Cordevol) zusammen. Zum gleichen Zeitpunkt geben Tuff-Komponenten Hinweise auf vulkanische Erscheinungen.

Die nächste Diskontinuitätsfläche, von der Spalten ausgehen, liegt über dem grauvioletten Bankkalk. Die Spaltenfüllung besteht aus rotem Knollenflaserkalk, der nach Ammoniten ins Jul eingestuft wird.

Weitere Spaltengenerationen reißen in der Zeit Tuval bis Nor auf. Das Alter ist wiederum durch Ammoniten belegt. Diese Spalten können bis 80 m in den älteren Untergrund reichen und mehrere Meter breit werden.

Im Jura (Lias-Dogger) kommt es zum Eingleiten von Dachstein-, Totengebirgs- und Höllengebirgsdecke in ein Becken, das sich aus der
Hallstätter Zone entwickelt (Abb.22). Der Faltenbau der Hallstätter
Zone um den Plassen muß in dieser Zeit stattgefunden haben, da
Breccien und Schollen mit Klauskalk-Matrix (Bajocien-Bathonien)
beide Faziesbereiche überlagern.

Höllengebirgsdecke und Totengebirgsdecke liegen seit Pliensbach übereinander. Während die Hallstätter Zone die Totengebirgsdecke an zwei Stellen tektonisch unterlagert, kann dies von der Höllengebirgsdecke mit großer Wahrscheinlichkeit vermutet werden.

Die Salzlagerstätten von Bad Ischl und Alt-Aussee liegen auf den Schnittpunkten der NW-SE streichenden Hallstätter Schwellenfazies (Salzkissen) und den aus der Höllengebirgsdecke diskordant an den Hallstätter Faziesbereich heranstreichenden Antiklinalen (Abb.23 und Beilage). Die westlichere Antiklinale wird diskordant von Radiolarit überlagert, ohne daß tektonische Bewegungen an dieser Fuge anzunehmen sind (Abb.21). Die östlichere Antiklinale ist dagegen in Sättel gegliedert, an denen die Mächtigkeit des Hirlatzkalkes durch Subsolution reduziert ist.

Die erwähnten tektonischen Ereignisse in der Trias und im Jura spiegeln sich als Salzkissen und Diapire auf Blatt Ischl wider. Zeitgleiche Phänomene sind aus Norddeutschland bekannt (SANNEMANN, 1968). Die Parallelität dieser Erscheinungen im Epikontinentalund Geosynklinalbereich lassen auf weiträumige Krustentektonik schließen.

Der Rettenbachkalk (Oxford-Kimmeridge) liegt diskordant über Radiolarit und Dachsteinkalk.

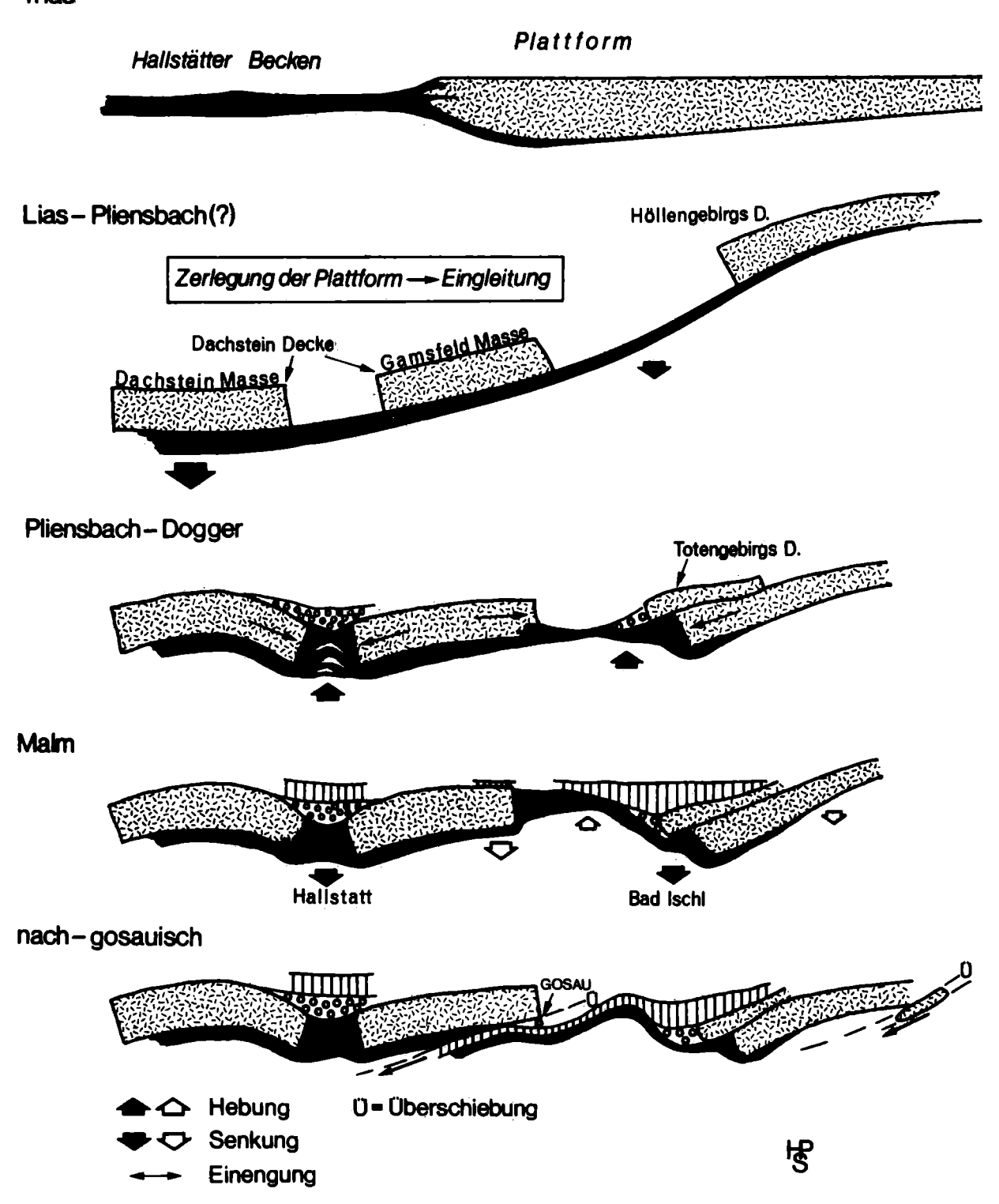
Im Tressensteinkalk (synsedimentäre Breccie) kommen Tonflatschen vor, die nach Sporen (I.DRAXLER) ein Malm-Alter anzeigen. Diese Um-lagerungen weisen gleichfalls auf tektonische Unruhen hin.

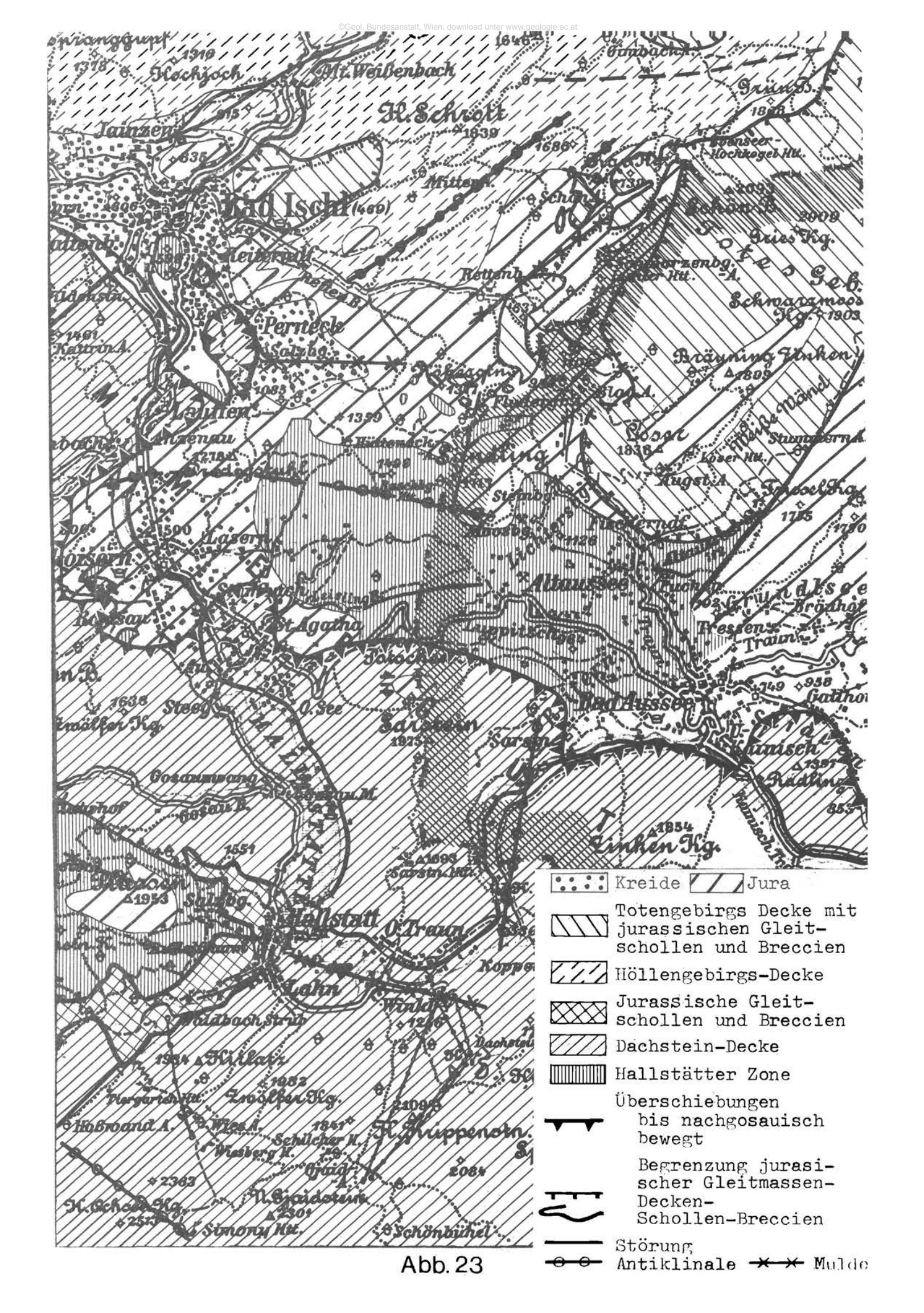
Jüngere (bis nachgosauische) Bewegungen sind am Kartenblatt nur an der Basis der Dachsteindecke als sicher anzunehmen. Die Bewegungsbeträge sind dabei größer als 10 km. In dieser Zeit fällt auch die Fernüberschiebung der Nördlichen Kalkalpen (vgl. Abb.2).

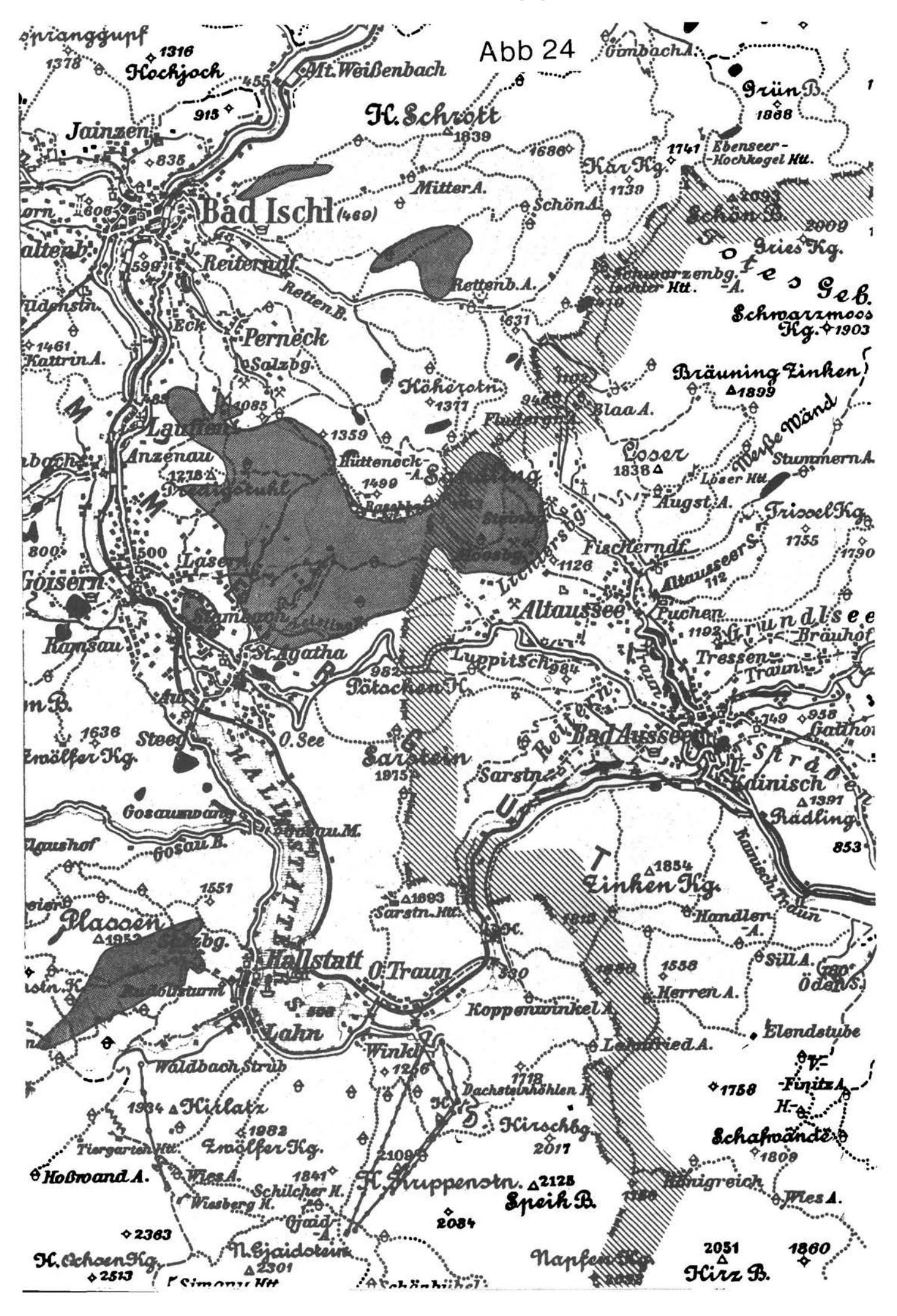
Die auf Blatt Ischl weit verbreiteten Massenbewegungen (Abb.24) werden als Ausdruck einer jungen Gebirgsdynamik gesehen.

Geodynamisches Modell im Salzkammergut G. SCHÄFFER 1976

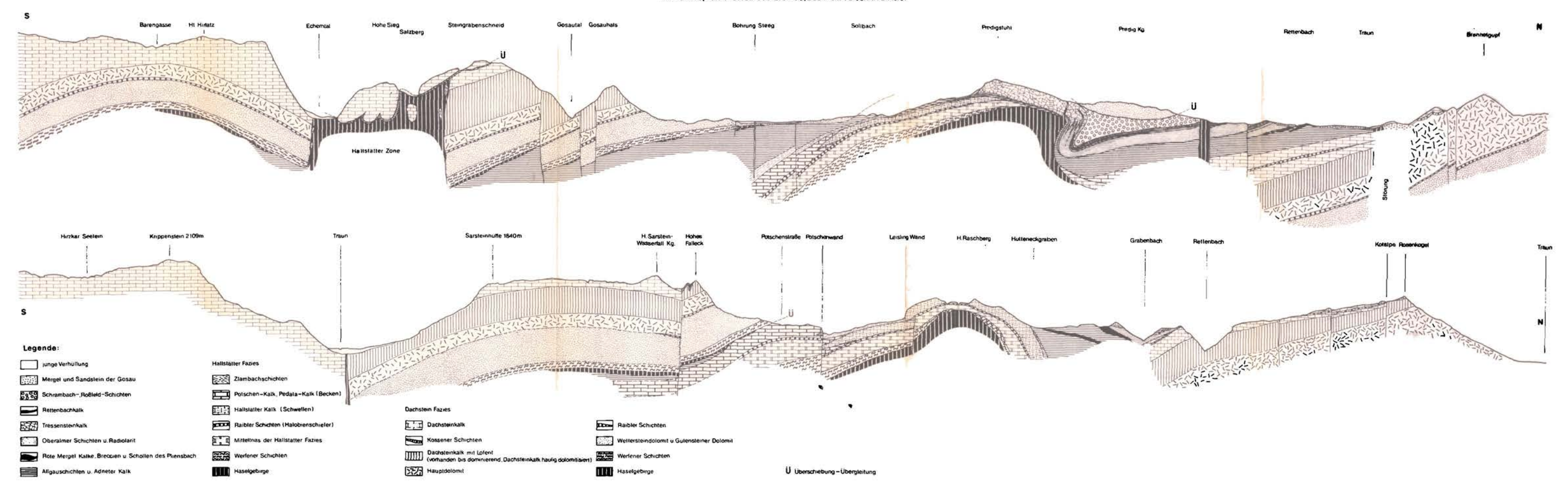
Trias







©Geol, Bundesanstalt, Wien; download unter www.geologie.ac.at Übersichtsprofile durch das Blatt 96, Bad Ischl (G SCHAFFER 1976)



ZOBODAT - www.zobodat.at

Zoologisch-Botanische Datenbank/Zoological-Botanical Database

Digitale Literatur/Digital Literature

Zeitschrift/Journal: Arbeitstagung der Geologischen Bundesanstalt

Jahr/Year: 1976

Band/Volume: 1976

Autor(en)/Author(s): Schäffer Gerhard

Artikel/Article: Einführung zur Geologischen Karte der Republik Österreich, Blatt 96, Bad Ischl 6-

<u>26</u>